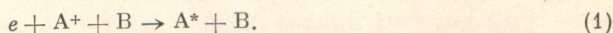


## ЭЛЕКТРОН-ИОННАЯ РЕКОМБИНАЦИЯ ПРИ ТРОЙНОМ СТОЛКНОВЕНИИ

В. М. Бородин

В рамках модели, предложенной в [3] для описания ионизации при столкновении двух атомов, рассматривается резонансный механизм элементарной реакции электронно-ионной рекомбинации при тройном столкновении  $A^+ + B + e \rightarrow A^* + B(A^+ + B - \text{ион и нейтральный атом соответственно})$ . Отмечается, что для изучаемого механизма реакции процесс рекомбинации электрона в плазме нельзя описывать как диффузию связанного электрона по энергетическим уровням под действием столкновений с атомами В. С помощью принципа детального равновесия получена формула для константы скорости рекомбинации электрона на любой ридберговский уровень атома. Приводится численное значение константы скорости для реакции  $K^+ + e + Ne \rightarrow K + Ne$  в изотермической плазме с температурой  $\theta \sim 3000^\circ \text{K}$ . Дается значение критической плотности атомов Ne, при которой скорость рекомбинации электрона и  $K^+$  при тройном ударе больше скорости соответствующей фоторекомбинации.

В достаточно разреженной плазме рекомбинация электронов и ионов происходит главным образом при парных соударениях. При больших плотностях частиц необходимо принимать во внимание реакции рекомбинации в результате тройных столкновений. Если плазма почти полностью ионизована, важную роль в кинетике исчезновения заряженных частиц играет процесс:  $A^+ + e + e \rightarrow A^* + e$ . В слабо ионизованном газе заряженные частицы могут исчезать благодаря тройному соударению электрон—ион—атом<sup>1</sup>



В этой работе мы будем рассматривать электронную рекомбинацию, обусловленную реакцией (1).

Простейшую оценку коэффициента рекомбинации для процесса (1) впервые дал Томсон [1], основываясь на классических рассуждениях. Позже ту же величину различными методами вычисляли многие авторы [2]. Ограничимся случаем, при котором электроны рассматриваются квантовомеханически, а ядра классически. Такая ситуация возникает, если энергия относительного движения тяжелых частиц много больше энергии, выделяющейся при рекомбинации электрона. В этой статье мы рассматриваем реакцию захвата электрона ионом при тройном ударе (1), используя схему потенциальных кривых, построенную в [3] для описания реакции ионизации при столкновении двух атомов. В [3] предполагается, что у квазимолекулы  $A + B$  существует терм, который на больших межатомных расстояниях  $R \geq R_0$  испытывает квазипересечения с бесконечным множеством ридберговских уровней, лежащих параллельно потенциальной кривой, соответствующей при  $R \rightarrow \infty$  основному состоянию системы  $A^+B$ .

В области  $R < R_0$  этот терм становится виртуальным или квазистационарным. Когда атом и ион сближаются до некоторого расстояния  $R_1 < R_0$ , энергия налетающего электрона будет равна разности энергий нестабиль-

<sup>1</sup> Возбужденный атом отмечается звездочкой.

ного состояния системы  $A^+ + e + B$  и основного терма системы  $A^+ + B$ . В окрестности  $R \sim R_1$  как при сближении, так и при разлете возможен временный захват электрона с образованием квазистационарного состояния системы  $A + B$ . На стадии разлета тяжелых частиц при  $R > R_0$  электрон может перейти в любое слабо связанное кулоновское состояние или на более глубоко лежащие уровни, где поле не носит кулоновский характер.

Рассмотрим сначала общие формулы для скорости захвата, в которых заранее не предполагается, что движение ядер описывается классически. Скорость реакции рекомбинации (1) при тройном ударе мы будем вычислять, используя выражение [4]

$$dR_{\alpha\alpha'} = dk_1 dk_2 d\mathbf{p}_1 d\mathbf{p}_2 d\mathbf{p}_3 f_1(\mathbf{p}_1) f_2(\mathbf{p}_2) f_3(\mathbf{p}_3) \times \\ \times \sum_{s_{\alpha}, s_{\alpha'}} \frac{(2\pi)^7}{g(\alpha)} \delta(\mathbf{P}_{\alpha} - \mathbf{P}_{\alpha'}) \delta(E_{\alpha} - E_{\alpha'}) |T_{\alpha\alpha'}|^2, \quad (2)$$

$\alpha, \alpha'$  — индексы начального и конечного состояний;  $\mathbf{p}_1, \mathbf{p}_2, \mathbf{p}_3$  — импульсы атома, иона и электрона соответственно;  $\mathbf{k}_1, \mathbf{k}_2$  — импульсы тяжелых частиц после столкновения,  $\mathbf{P}_{\alpha} = \mathbf{p}_1 + \mathbf{p}_2 + \mathbf{p}_3$ ,  $\mathbf{P}_{\alpha'} = \mathbf{k}_1 + \mathbf{k}_2$ ,  $E_{\alpha} = \varepsilon_{p_1} + \varepsilon_{p_2} + \varepsilon_{p_3}$ ,  $E_{\alpha'} = \varepsilon_{k_1} + \varepsilon_{k_2} - I$ ,  $\varepsilon_p$  — кинетическая энергия частицы,  $-I$  — энергия связи электрона в конечном состоянии,  $g(\alpha)$  — статистический вес начального состояния,  $T_{\alpha\alpha'}$  — матрица реакции, заданная на «энергетической» и «импульсной» оболочках; суммирование проводится по вырожденным начальным и конечным состояниям;  $f(\mathbf{p})$  — бальцмановская функция распределения частиц по импульсам,  $\int f_i(\mathbf{p}_i) d\mathbf{p}_i = n_i$ ,  $n_i$  — концентрация  $i$ -й частицы,  $i = 1, 2, 3$ .

Реакцией, обратной (1), является процесс ионизации. Дифференциальное сечение рассеяния для этой реакции определяется так [4]:

$$d\sigma_{\alpha'\alpha} = d\mathbf{p}_1 d\mathbf{p}_2 d\mathbf{p}_3 \sum_{s_{\alpha}, s_{\alpha'}} \frac{(2\pi)^4}{g(\alpha') v} \delta(\mathbf{P}_{\alpha} - \mathbf{P}_{\alpha'}) \delta(E_{\alpha} - E_{\alpha'}) |T_{\alpha'\alpha}|^2, \quad (3)$$

$v$  — скорость относительного движения атомов,  $g(\alpha')$  — статистический вес системы двух атомов.

Теорема обратимости [4]

$$\sum_{s_{\alpha}, s_{\alpha'}} |T_{\alpha\alpha'}|^2 = \sum_{s_{\alpha'}, s_{\alpha}} |T_{\alpha'\alpha}|^2 \quad (4)$$

позволяет установить связь между скоростью прямого процесса (1) и сечением обратного

$$dR_{\alpha\alpha'} = (2\pi)^3 v f_1(\mathbf{p}_1) f_2(\mathbf{p}_2) f_3(\mathbf{p}_3) dk_1 dk_2 \frac{g(\alpha')}{g(\alpha)} d\sigma_{\alpha'\alpha}. \quad (5)$$

Перейдем к координатам Якоби, которые связаны с импульсами  $\mathbf{p}_i$  и  $\mathbf{k}_i$  следующим образом:

$$\left. \begin{aligned} \mathbf{p}_1 &= \boldsymbol{\kappa}_1 + \frac{m_1}{m_{12}} \boldsymbol{\kappa}_2 + \frac{m_1}{M} \boldsymbol{\kappa}_0, & \mathbf{p}_2 &= -\boldsymbol{\kappa}_1 + \frac{m_2}{m_{12}} \boldsymbol{\kappa}_2 + \frac{m_2}{M} \boldsymbol{\kappa}_0, \\ \mathbf{p}_3 &= -\boldsymbol{\kappa}_2 + \frac{m_3}{M} \boldsymbol{\kappa}_0, & \mathbf{k}_1 &= \mathbf{l}_1 + \frac{m_1}{M} \mathbf{l}_0, & \mathbf{k}_2 &= -\mathbf{l}_1 + \frac{m'_2}{M} \mathbf{l}_0, \end{aligned} \right\} \quad (6)$$

где  $m_1, m_2, m_3$  — массы атома, иона и электрона;  $m_{12} = m_1 + m_2$ ,  $m'_2 = m_2 + m_3$ ,  $M = m_1 + m_2 + m_3$ ,  $\boldsymbol{\kappa}_1, \mathbf{l}_1$  — импульсы относительного движения тяжелых частиц до и после столкновения и соответственно,  $\boldsymbol{\kappa}_0, \mathbf{l}_0$  — полные импульсы системы,  $\boldsymbol{\kappa}_2$  — импульс электрона относительно центра масс атома и иона.

Перейдем в (5) к новым переменным (6) и проинтегрируем по  $\mathbf{x}_0$  и  $I_0$ . После простых, но громоздких выкладок выражение для скорости рекомбинации приводится к виду

$$dR_{\alpha\alpha'} = \frac{n_1 n_2 n_3}{\left(\frac{m_1 m_2 m_3}{M} \Theta^2 \Theta_e\right)^{3/2} \left(\frac{m_{12}}{M\Theta} + \frac{m_3}{M\Theta_e}\right)^{3/2}} \frac{g(\alpha')}{g(\alpha)} v \times \\ \times \exp \left[ -\frac{\varepsilon_{x_1}}{\Theta} - \frac{\varepsilon_{x_2}}{\frac{m_{12}}{M} \Theta_e + \frac{m_3}{M} \Theta} \right] \left[ \frac{(2\pi)^4}{v} \delta(\varepsilon_{x_1} + \varepsilon_{x_2} - \varepsilon_{I_1} + I) \times \right. \\ \left. \times \sum_{s_{\alpha'}, s_{\alpha'}} \frac{|T_{\alpha'\alpha}|^2}{g(\alpha')} d\mathbf{x}_1 d\mathbf{x}_2 \right] dI_1. \quad (7)$$

Здесь  $\Theta$ ,  $\Theta_e$  — соответственно температуры атомов, ионов и электронов в энергетических единицах;  $\varepsilon_{x_1} = x_1^2/2\mu_1$ ,  $\varepsilon_{x_2} = x_2^2/2\mu_2$ ,  $\mu_1 = m_1 m_2 / m_1 + m_2$ ,  $\mu_2 = m_3 m_{12} / M$ .

Последний сомножитель, заключенный в квадратные скобки, дает дифференциальное сечение ионизации. Полное число элементарных актов рекомбинации в единице объема за одну секунду получим после интегрирования по  $\mathbf{x}_1$ ,  $I_1$ ,  $\mathbf{x}_2$

$$R_{\alpha\alpha'} = \frac{g(\alpha')}{g(\alpha)} \frac{2n_1 n_2 n_3 \mu_1'}{\left[\frac{m_1 m_2 m_3}{M} \Theta^2 \Theta_e\right]^{3/2} \left[\frac{m_{12}}{M\Theta} + \frac{m_3}{M\Theta_e}\right]^{3/2}} \int_0^\infty e^{-\varepsilon/\Theta} (\varepsilon + I) \times \\ \times \int_0^\varepsilon \exp \left[ \frac{\varepsilon_{x_2}}{\Theta} \left( \frac{1 - \frac{\Theta_e}{\Theta}}{1 + \frac{m_3 \Theta_e}{m_{12} \Theta}} \right) \right] \frac{d\sigma_{\alpha'\alpha}}{d\varepsilon_{x_2}} d\varepsilon_{x_2} d\Omega_{I_1} d\varepsilon, \quad (8)$$

где  $\mu_1' = m_2 m_1 / M$ ;  $\varepsilon$  — полная энергия системы;  $d\sigma_{\alpha'\alpha}/d\varepsilon_{x_2}$  — сечение реакции ионизации, отнесенное к единице энергии вылетающего электрона.

В случае изотермической плазмы ( $\Theta = \Theta_e$ ) формула (8) упрощается

$$R_{\alpha\alpha'} = n_1 n_2 n_3 \frac{g(\alpha')}{g(\alpha)} \frac{2\mu_1'}{\left(\frac{m_1 m_2 m_3}{M}\right)^{3/2} \Theta^3} \int_0^\infty e^{-\varepsilon/\Theta} (\varepsilon + I) \sigma_{\alpha'\alpha}(\varepsilon) d\varepsilon d\Omega_{I_1}, \quad (9)$$

где полное сечение обратного процесса  $\sigma_{\alpha'\alpha} = \int_0^\varepsilon \left( \frac{d\sigma_{\alpha'\alpha}}{d\varepsilon_{x_2}} \right) d\varepsilon_{x_2}$ . Выражения (8) и (9) применимы для вычисления скорости любого процесса, протекающего при тройном столкновении, в котором одна из частиц переходит в связанное состояние. В этом случае  $-I$  — энергия связи образующейся пары.

Формулы (8) и (9) мы можем упростить, принимая во внимание значительное различие масс атома и электрона и предполагая, что  $\Theta/\Theta_e \ll m_{12}/m_3$ . Последнее неравенство обычно всегда выполняется в плазме. После простых преобразований имеем

$$R_{\alpha\alpha'} = \frac{g(\alpha')}{g(\alpha)} \frac{2n_1 n_2 n_3}{\mu_1'^{1/2} (m_3 \Theta \Theta_e)^{3/2}} \int_0^\infty e^{-\varepsilon/\Theta} (\varepsilon + I) \int_0^\varepsilon \exp \left[ \frac{\varepsilon_{x_2}}{\Theta} - \frac{\varepsilon_{x_2}}{\Theta_e} \right] \frac{d\sigma_{\alpha'\alpha}}{d\varepsilon_{x_2}} d\varepsilon_{x_2} d\varepsilon d\Omega_{I_1}. \quad (10)$$

Для изотермического случая, если считать массу захватываемой частицы малой, мы приходим к формуле, полученной ранее в работе [5] менее простым способом (с использованием статистического принципа детального равновесия).

Воспользуемся полученными общими формулами (8)–(10) для вычисления скорости  $R_{\alpha\alpha'}$ , электрон-ионной рекомбинации в кулоновские состояния системы  $A+B$ . Будем считать, что движение ядер подчиняется

законам классической механики, а механизм реакции определяется взаимодействием одного наклонного терма со сплошным спектром и ридберговскими уровнями системы А+В.

Ход этого процесса обсуждался в начале статьи. Чтобы воспользоваться выражениями (8)–(10), для  $R_{\alpha\alpha'}$  нам необходимо знать величину  $d\sigma_{\alpha'\alpha}/d\varepsilon_{x_2}$ . Мы вычислим ее на основании результатов работ [3, 6]. Плотность вероятности ионизации системы А+В из высоковозбужденного состояния  $n$  в состояние с положительной энергией  $\varepsilon_{x_2}$  при сближении атомов равна <sup>2</sup>

$$\omega_n(\varepsilon_{x_2}) = \frac{2L}{v_R} \left( 1 - \exp \left[ -\frac{2L}{v_R n^3} \right] \right) \exp \left[ \frac{2L}{v_R} (F(E_{n+1}) - \varepsilon_{x_2}) \right], \quad (11)$$

где  $F(E_n) = - \sum_{k \geq (-2E_n)^{1/2}} k^{-3}$ ,  $E_n = -\frac{1}{2n^2}$ ,  $v_R$  — радиальная составляющая

относительной скорости тяжелых частиц при  $R=R_0$ ,  $L$  — характерный параметр, связанный с поведением системы в окрестности  $E=0$  и  $R=R_0$ . При выводе выражения для  $\omega_n(\varepsilon_{x_2})$  мы пренебрегали возможностью повторной рекомбинации электрона при разлете атома и иона. Такое приближение, как показано в [3], справедливо при условии  $R_0/L \gg 1$ .

Предположив, что формула (11) верна при всех параметрах удара  $\rho < R_0$  и обращается в нуль при  $\rho > R_0$ , мы получаем после суммирования по  $\rho$  эффективное сечение ионизации из состояния  $n$ , отнесенное к единице энергии вылетающего электрона

$$\left. \begin{aligned} \frac{d\sigma_{\alpha'\alpha}}{d\varepsilon_{x_2}} &= \frac{4\pi R_0^2 L}{v} \int_0^{\pi/2} \exp \left[ \frac{2L}{v \cos \varphi} (F(E_{n+1}) - \varepsilon_{x_2}) \right] \left[ 1 - \exp \left[ \frac{4LE_n}{nv \cos \varphi} \right] \right] \sin \varphi d\varphi, \\ \frac{d\sigma_{\alpha'\alpha}}{d\varepsilon_{x_2}} &= \frac{4\pi R_0^2 L}{v} \left\{ \int_0^1 \exp \left[ \frac{2L}{vy} (F(E_{n+1}) - \varepsilon_{x_2}) \right] dy - \int_0^1 \exp \left[ \frac{2L}{vy} (F(E_n) - \varepsilon_{x_2}) \right] dy \right\} = \\ &= \frac{4\pi R_0^2 L}{v} [q_1 Ei(-q_1) + e^{-q_1} - q_2 Ei(-q_2) - e^{-q_2}], \\ q_1 &= \frac{2L}{v} (-F(E_{n+1}) + \varepsilon_{x_2}), \quad q_2 = \frac{2L}{v} (-F(E_n) + \varepsilon_{x_2}). \end{aligned} \right\} \quad (12)$$

Так как используемая нами модель справедлива только для состояний с достаточно малой энергией связи  $(2n^2)^{-1} \leq R_0^{-1}$ , в дальнейшем мы будем считать, что  $\delta = 2L/vn^3 \ll 1$ . Это условие дает возможность упростить выражение для  $d\sigma_{\alpha'\alpha}/d\varepsilon_{x_2}$ , разложив его по параметру  $\delta$  с точностью до линейных членов

$$\frac{d\sigma_{\alpha'\alpha}}{d\varepsilon_{x_2}} = \frac{8\pi R_0^2 L^2}{v^2 n^3} Ei \left[ -\frac{2L}{v} \left( \frac{1}{2n^2} + \varepsilon_{x_2} \right) \right] + O(\delta^2). \quad (13)$$

Здесь мы вычислили сумму по  $k$ , заменив суммирование интегрированием. Это возможно, поскольку для больших  $n$  дискретным характером ридберговских уровней можно пренебречь. Подставим формулу (13) в (10) и выполним интегрирование по частям по переменной  $\varepsilon$ . В результате расчета мы получим следующее выражение для скорости рекомбинации электрона в интервал энергий  $I$ ,  $I + dI$ :

$$\left. \begin{aligned} dR_{\alpha\alpha'} &= -n_1 n_2 n_3 \frac{g(\alpha') 64\pi^2 R_0^2 \mu^{1/2} L^2 \exp[\beta I]}{g(\alpha) m_3^{3/2} (\Theta \Theta_e)^{1/2}} \int_{\sqrt{\beta I}}^{\infty} y e^{-y^2} Ei(-\gamma y) dy dI, \\ \beta &\equiv \Theta_e^{-1}, \quad \gamma = \left( \frac{2\mu}{\beta} \right)^{1/2} L. \end{aligned} \right\} \quad (14)$$

В выражении (14) отношение  $g(\alpha')/g(\alpha) = 1$ , так как формулы (11)–(13) справедливы при условии, что ион  $A^+$  и атом  $B$  имеют замкнутую

<sup>2</sup> Здесь мы используем атомную систему единиц.

электронную оболочку инертного газа, а спин возбужденного атома равен половине.

Из (14) видно, что  $dR_{yx}/dI$  отлично от нуля при  $I=0$  и монотонно убывает с увеличением энергии ионизации  $I$ . Это связано с тем, что в области  $I=0$  благодаря кулоновскому сгущению уровней число состояний резко увеличивается, а величина матричного элемента, определяющего связь между наклонным и горизонтальным термами, убывает [3]. Скорость рекомбинации электрона в некоторую совокупность ридберговских состояний находится путем интегрирования выражения (14) по  $I$  от нуля до  $I_0$ . Верхний предел интегрирования  $I_0$  определяется сделанными приближениями. Коротко охарактеризуем их.

Модель, используемая нами, имеет смысл, когда  $R_0$  велико. Ее можно применять только для описания уровней с большими  $n$ , расположенными в надбарьерной области. Поэтому в работе предполагается, что  $I_0 \leq R_0^{-1}$ . Поскольку формула (11) справедлива для энергии  $\varepsilon_{x_2}$  электрона в области  $0 \leq \varepsilon_{x_2} \leq 1/R_0$ , то в дальнейшем мы будем считать, что температура  $\theta_e < 1/R_0$ .

При вычислении вероятности (11) реакции ионизации из сильно возбужденного состояния  $n$  мы рассматривали движение ядер классически. Так можно поступать в случае, когда средняя кинетическая энергия (а следовательно, и температура  $\theta$ ) атомов и ионов в плазме больше как потенциала ионизации  $I$  уровня  $n$  ( $\theta > I$ ), так и энергии, уносимой вылетающим электроном.

Вкладом в скорость рекомбинации электронов с энергиями порядка  $\theta$  можно пренебречь, если  $(2L/\langle v \rangle)\theta \gg 1$  или

$$\left(\frac{1}{2\sqrt{2}}\right)\theta^{1/2}\theta_0^{-1} > 1 \quad (\langle v \rangle = \sqrt{\mu^{-1}3\theta}), \quad \theta_0 = \frac{\sqrt{6}}{8} L^{-1}\mu^{-1/2}.$$

По ходу вывода формулы (13) нами было сделано предположение, что параметр Мессе  $\delta = 2L/vn^3$  для переходов между соседними ридберговскими уровнями меньше единицы ( $\delta < 1$ ).

Теперь мы можем написать совокупность условий, определяющих область применимости выражения (14),

$$I \leq R_0^{-1}, \quad I < \theta, \quad 2^{-3/2}\theta^{1/2}\theta_0^{-1} > 1, \quad \delta = I^{3/2}\theta^{-1/2}\theta_0^{-1} < 1, \quad \theta_e < \frac{1}{R_0}. \quad (15)$$

Множество допустимых значений  $I$  в зависимости от соотношения между  $\theta$ ,  $\theta_0$  и  $R_0^{-1}$  задается следующими неравенствами:

$$0 \leq I < R_0^{-1} \quad \text{при} \quad R_0^{-1} < \theta_0 \leq \theta, \quad (16a)$$

$$\frac{I^{3/2}}{\theta^{1/2}\theta_0} < 1, \quad \text{если} \quad \theta_0 \leq \theta < \theta_0^{-2}R_0^{-3}; \quad \theta_0 < \frac{1}{R_0}, \quad (16b)$$

$$0 \leq I < \frac{1}{R_0} \quad \text{при} \quad \frac{1}{\theta_0^3 R_0^3} < \theta, \quad \theta_0 < \frac{1}{R_0}. \quad (16b)$$

После вычисления интеграла по  $I$  мы получаем

$$\begin{aligned} \int_0^{I_0} e^{\beta I} dI \int_{\sqrt{\beta I}}^{\infty} y e^{-y^2} Ei(-\gamma y) dy &= \frac{\gamma^2 I_0}{\omega^2} e^{\omega^2/\gamma^2} \int_{\gamma^{-1}\omega}^{\infty} y e^{-y^2} Ei(-\gamma y) dy + \\ &+ \frac{I_0}{2} Ei(-\omega) - \frac{I_0}{2\omega^2} \int_0^{\omega} y e^{-y^2} dy - \frac{I_0}{\omega^2} \int_0^{\omega} y \exp\left[-\frac{y^2}{\gamma^2}\right] Ei(-y) dy, \end{aligned} \quad (17)$$

где  $\omega \equiv \gamma(\beta I_0)^{1/2} = L\sqrt{2\mu I_0}$ .

Если  $\gamma \gg 1$ ,  $\omega \gg 1$ , то первые члены асимптотического разложения интеграла (17) по параметру  $\omega$  равны

$$\int_0^{I_0} e^{\beta I} \int_{(\beta I)^{1/2}}^{\infty} y e^{-y^2} Ei(-\gamma y) dy dI = -\frac{1}{\gamma^2 \beta} \left[ \frac{1}{2} + \int_0^{\infty} y \exp\left[-\frac{y^2}{\gamma^2}\right] Ei(-y) dy \right] + \frac{I_0 e^{-\omega}}{\gamma^2 \omega} + O\left(\frac{e^{-\omega}}{\omega^4}\right). \quad (18)$$

Благодаря ограничениям, наложенным на параметры  $\gamma$  и  $\omega$  ( $\gamma \gg 1$ ,  $\omega \gg 1$ ), второе слагаемое в (18) дает лишь малую поправку и в дальнейшем член, зависящий явно от  $I_0$ , мы учитывать не будем.

Смысл условия  $\omega \gg 1$  заключается в том, что состояния с энергией от нуля до  $-I_0$  вносят основной вклад в скорость полной рекомбинации электрона в результате одной элементарной реакции (1).

Скорость рекомбинации во все состояния с потенциалом ионизации, удовлетворяющим неравенству (15), имеет вид<sup>3</sup>

$$R_{\alpha\alpha'} = n_1 n_2 n_3 \frac{32\pi^2 R_0^2 \hbar^3}{m_3^{3/2} (\Theta \Theta_e)^{1/2}} \left[ \frac{1}{2} + \int_0^{\infty} y \exp\left[-\frac{y^2}{\gamma^2}\right] Ei(-y) dy \right], \quad (19)$$

где  $\gamma \gg 1$ ,  $\omega \gg 1$ .

В случае, когда  $\omega \gg 1$ ,  $\gamma \gg 1$  (например, тяжелые атомы и высокая температура электронной компоненты плазмы), выражение (19) упрощается

$$R_{\alpha\alpha'} = n_1 n_2 n_3 \frac{24\pi^2 \hbar^5}{(\mu m_3 \Theta_e)^{3/2} \Theta^{1/2}} \left(\frac{R_0}{L}\right)^2. \quad (20)$$

Из (20) мы видим, что скорость рекомбинации (при  $\omega \gg 1$ ,  $\gamma \gg 1$ ) пропорциональна квадрату безразмерного большого параметра  $(R_0/L)^2$ , характерного для данной задачи. Зависимость  $R_{\alpha\alpha'}$  от электронной температуры определяется нормировочным множителем соответствующей функции распределения.

Если  $\gamma \ll 1$  (например, мала температура  $\Theta_e$ ), а  $\omega \gg 1$ , то двойной интеграл (17) асимптотически равняется  $-1/2\gamma^2\beta$  и для  $R_{\alpha\alpha'}$  можно написать формулу

$$R_{\alpha\alpha'} = n_1 n_2 n_3 \frac{16\pi^2 R_0^2 \hbar^3}{m_3^{3/2} (\Theta \Theta_e)^{1/2}}, \quad \Theta_e \gg \frac{m_3}{m_{12}} \Theta. \quad (21)$$

Можно избавиться от ограничения  $\Theta_e \gg m_3 m_{12}^{-1} \Theta$ , тогда при условии  $\gamma \ll 1$ ,  $\omega \gg 1$   $R_{\alpha\alpha'}$  имеет вид

$$R_{\alpha\alpha'} = n_1 n_2 n_3 \frac{16\pi^2 R_0^2 \hbar^3}{m_3^{3/2} (\mu \Theta \Theta_e)^{1/2}} \left[ 1 + \frac{m_3 \Theta}{m_{12} \Theta_e} \right]^{-1/2}. \quad (22)$$

Выражение (21) для  $R_{\alpha\alpha'}$  (при  $\omega \gg 1$ ,  $\gamma \ll 1$ ) не содержит величины  $L$ , описывающей поведение термов в окрестности  $R_0$ . В области низких электронных температур ( $\gamma \ll 1$ ) зависимость  $R_{\alpha\alpha'}$  от  $\Theta_e$  определяется поведением «сечения» беспороговой реакции образования двух нейтральных частиц при столкновении медленного электрона с заряженным комплексом, состоящим из атома и положительного иона.

Константу  $K_{\alpha\alpha'}$  скорости реакции рекомбинации можно представить в виде

$$K_{\alpha\alpha'} \sim \langle v_e \sigma \rangle, \quad (23)$$

где  $v_e$  — скорость электрона,  $\langle \dots \rangle$  — максвелловское усреднение по скоростям электрона.

Когда кинетическая энергия налетающего электрона мала, «сечение» ведет себя подобно  $A/v_e^2$  [7]. В этом случае, как видно из (23),  $K_{\alpha\alpha'} \sim \Theta_e^{-1/2}$ , что находится в согласии с формулой (21).

<sup>3</sup> Здесь мы возвращаемся от атомной к произвольной системе единиц.

Мы вычислили среднюю скорость электрон-ионной рекомбинации для одного элементарного акта. В реальной плазме сильно возбужденный атом, образовавшийся в результате захвата электрона ионом, многократно изменяет свое состояние прежде, чем достигнет основного уровня. Отдельные этапы обусловлены различными реакциями. Поэтому для вычисления эффективного коэффициента рекомбинации необходимо решать задачу о кинетике рекомбинации с учетом множества элементарных процессов [8]. В рамках модели, используемой нами для описания одной элементарной реакции (1), движение связанного электрона по энергетическим уровням под действием столкновений с нейтральными атомами В нельзя рассматривать как диффузное блуждание. Действительно, при  $\delta = 2L/vn^3 \ll 1$  отношение вероятности перехода из состояния  $n$  на все верхние уровни к вероятности перехода на ближайший  $n+1$  заметно больше единицы. То же относится и к девозбуждению. Энергия электрона, находящегося в сплошном спектре, также сильно изменяется за одно столкновение. Поэтому в нашем случае с помощью метода, предложенного Питаевским [2], мы не можем вычислить эффективный коэффициент электрон-ионной рекомбинации в плотной слабо ионизованной атомарной плазме.

Оценим порядок величин  $\Theta_0$ ,  $\omega$ ,  $I_0$ ,  $\delta$ ,  $\gamma$  для К—Ne изотермической плазмы. Значение параметра  $L \approx 0.2$  ат. ед. возьмем из работы [9] относительно  $R_0$  будем считать, что  $R_0 \approx 10$  ат. ед., тогда  $\Theta_0 \approx 2.8 \cdot 10^{30}$  К.

Мы рассмотрим случай (16 б). Если принять  $\Theta \approx \Theta_0$ ,  $I_0 \approx \Theta_0/3$ , то  $\delta$ ,  $\omega$  и  $\gamma$  будут соответственно равны 0.2, 3 и 4. Следует заметить, что с увеличением  $\Theta$  неравенство  $\delta < 1$ ,  $\omega > 1$  выполняются лучше. Константа скорости элементарной реакции (1), согласно формуле (20) (здесь мы воспользовались этим выражением, так как  $\omega > 1$  и  $\gamma > 1$ ), равна  $2 \cdot 10^{-30}$  см<sup>6</sup>/сек. Если в качестве третьего тела В в реакции (1) взять атом калия, то в диффузном приближении эффективная константа скорости ступенчатой рекомбинации электрона на основной уровень калия оказывается порядка  $2 \cdot 10^{-29}$  см<sup>6</sup>/сек. Критическая плотность  $n_B$  частиц В, при которой средняя скорость рекомбинации электрона (20) в результате одного элементарного акта (1) будет больше полной скорости фоторекомбинации, порядка  $10^{18}$  см<sup>-3</sup> скорость фоторекомбинации мы оценили по формуле, приведенной в [10].

В заключение выражаю искреннюю благодарность Ю. Н. Демкову за полезные замечания и обсуждение.

#### Литература

- [1] Г. Месси, Е. Бархоп. Электронные и ионные столкновения, 546 ИЛ, 1958.
- [2] Л. П. Питаевский. ЖЭТФ, 42, 1326, 1962; В. А. Абрамов. Опт. и спектр., 18, 974, 1965; D. R. Bates, S. P. Khaqe. Proc. Phys. Soc., 85, 231, 1965; И. С. Веселовский. ЖЭТФ, 52, 1036, 1967; И. С. Веселовский. ЖТФ, 39, 2233, 1969.
- [3] Ю. Н. Демков, И. В. Комаров. ЖЭТФ, 50, 286, 1966.
- [4] М. Гольдбергер, К. Ватсон. Теория столкновений. Изд. «Мир». М., 1967.
- [5] М. И. Чибисов. ЖЭТФ, 49, 852, 1965.
- [6] Ю. Н. Демков, В. И. Ошеров. ЖЭТФ, 53, 1589, 1967.
- [7] Л. Д. Ландау, Е. М. Лифшиц. Квантовая механика, физматгиз, 1963.
- [8] Л. М. Биберман, В. С. Воробьев, И. Т. Якубов. Усп. физ. наук, 107, 353, 1972.
- [9] Yu. F. Yudin, V. I. Ogurtsov. V Intern. Conf. on the Physics of Electronic and Atomic Collisions, Leningrad, 1967, Abstr. of papers, p. 220.
- [10] Я. Б. Зельдович, Ю. П. Райзер. Физика ударных волн и высокотемпературных гидродинамических явлений, гл. 6. Изд. «Наука», М., 1966.

Поступило в Редакцию 7 сентября 1973 г.